

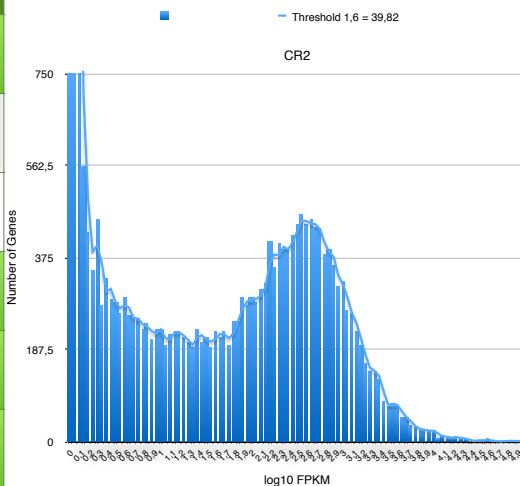
Number of genes in list

	CR2	CR4	HP	Gene overlap
padj <0,1 FC > 1,5	A (673)	B (739)	C (28)	13
padj <0,1 FC > 5	D (17)	E (36)	F (0)	n/a
⊗ p cutoff FC > 10	G (7)	H (13)	I (12)	n/a
padj <0,1 FC > 1,5 FPKM > 39,81	J (362)	K (465)	L (24)	8
⊗ p cutoff FC > 5	M (138)	N (159)	O (103)	n/a
padj <0,05 ⊗ FC	P (2171)	Q (2121)	R (81)	51

	unknown genes in list
	> 80 % unknown genes, DAVID conversion tool used
	GO terms from analysis submitted to REVIGO

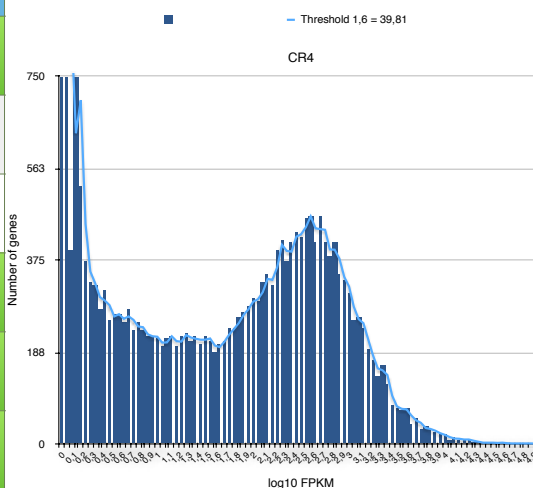
Number of terms in analysis for CR2

	Code from left list	BP	CC	MF	KEGG
padj <0,1 FC > 1,5	A (57/616)	136	32	75	13
padj <0,1 FC > 5	D	1	0	2	1
⊗ p cutoff FC > 10	G	1	0	0	0
padj <0,1 FC > 1,5 FPKM > 39,81	J (19/343)	81	28	51	11
⊗ p cutoff FC > 5	M	6	4	3	4
padj <0,05 ⊗ FC	P (88/2083)	251	70	126	33



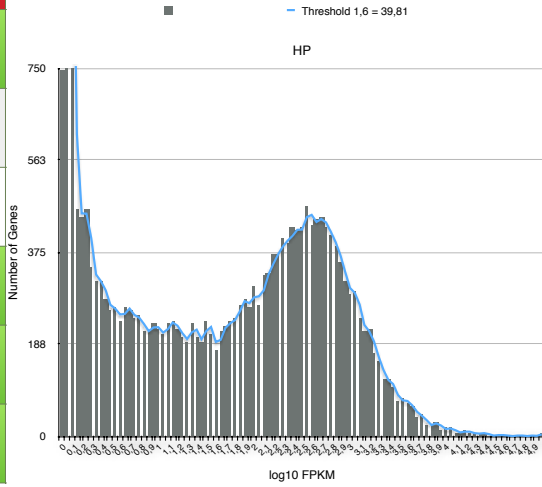
Number of terms in analysis for CR4

	Code from left list	BP	CC	MF	KEGG
padj <0,1 FC > 1,5	B (65/675)	154	30	88	18
padj <0,1 FC > 5	E (7/29)	n/a	n/a	n/a	n/a
⊗ p cutoff FC > 10	H (1/12)	3	3	2	3
padj <0,1 FC > 1,5 FPKM > 39,81	K (28/437)	118	27	67	18
⊗ p cutoff FC > 5	N	19	12	14	12
padj <0,05 ⊗ FC	Q (89/2032)	198	76	128	32



Number of terms in analysis for HP

	Code from left list	BP	CC	MF	KEGG
padj <0,1 FC > 1,5	C	11	6	11	2
padj <0,1 FC > 5	F	n/a	n/a	n/a	n/a
⊙ p cutoff FC > 10	I	12	1	1	1
padj <0,1 FC > 1,5 FPKM > 39,81	L	11	6	13	2
⊙ p cutoff FC > 5	O	11	5	2	1
padj <0,05 ⊙ FC	R (279)	53	13	21	3



HP

log10 FPKM	Number of Genes
0	15492
0,05	1716
0,1	768
0,15	484
0,2	445
0,25	483
0,3	345
0,35	315
0,4	318
0,45	278
0,5	258
0,55	283
0,6	234
0,65	285
0,7	256
0,75	239
0,8	245
0,85	213
0,9	216
0,95	228
1	217
1,05	206
1,1	231
1,15	233
1,2	218
1,25	203
1,3	194
1,35	230
1,4	205
1,45	191
1,5	238
1,55	208
1,6	177
1,65	216
1,7	226
1,75	235
1,8	239
1,85	270
1,9	281
1,95	282
2	305
2,05	286
2,1	329
2,15	331
2,2	372
2,25	370
2,3	404
2,35	394
2,4	423
2,45	419
2,5	424

CR4

log10 FPKM	Number of Genes
0	15864
0,05	1334
0,1	392
0,15	875
0,2	526
0,25	372
0,3	331
0,35	325
0,4	274
0,45	311
0,5	255
0,55	265
0,6	264
0,65	246
0,7	274
0,75	232
0,8	247
0,85	229
0,9	218
0,95	221
1	216
1,05	197
1,1	217
1,15	222
1,2	197
1,25	220
1,3	224
1,35	210
1,4	219
1,45	206
1,5	219
1,55	211
1,6	190
1,65	205
1,7	212
1,75	234
1,8	235
1,85	258
1,9	268
1,95	281
2	299
2,05	291
2,1	328
2,15	345
2,2	324
2,25	396
2,3	416
2,35	371
2,4	413
2,45	432
2,5	423

CR2

baseMean-CR2WO	log10 FPKM	log10 FPKM	sum
0	0	0	15266
9,461496236	1,0195938031	0,05	1743
0	0	0,1	852
0	0	0,15	561
30,98943583	1,5050065808	0,2	426
0,901351984	0,2790625222	0,25	348
0,347343773	0,1294784195	0,3	452
1,08029149	0,3181241924	0,35	278
1,369176173	0,3745973562	0,4	333
1,591596279	0,4135673477	0,45	290
3,671760611	0,6694805806	0,5	281
3,166995046	0,6198229841	0,55	263
0,19524452	0,0774567612	0,6	292
0,177308565	0,0708903035	0,65	255
3,463903748	0,6497148216	0,7	250
0,514705088	0,1803280842	0,75	251
0	0	0,8	228
0,334880902	0,1254425196	0,85	241
0,863702989	0,2703767017	0,9	210
6,695860802	0,8862572038	0,95	230
1,453255505	0,3897427820	1	228
1,335346134	0,3683512587	1,05	195
1,375135134	0,3756883239	1,1	220
0,165888646	0,0666570729	1,15	224
0,883826959	0,2750410076	1,2	222
0	0	1,25	211
11,44197919	1,0948894706	1,3	204
0,705803047	0,2319288858	1,35	191
0,528494482	0,1842638752	1,4	232
372,3800522	2,5721511206	1,45	202
0,666499923	0,2218052979	1,5	215
0,181455126	0,0724172309	1,55	192
2,869166432	0,5876174112	1,6	225
1,02926403	0,3073385572	1,65	214
2,442986942	0,5368353755	1,7	223
0,687867092	0,2273382459	1,75	198
3,227665339	0,6261006013	1,8	244
24,36655634	1,4042615131	1,85	247
0,764673066	0,2466642571	1,9	294
6,189231749	0,8566824835	1,95	278
1,238748506	0,3500053090	2	297
1244,936568	3,0954959324	2,05	285
13,50392233	1,1614854654	2,1	309
46,40404618	1,6758154125	2,15	320
0,927307558	0,2849510245	2,2	407
0,362910252	0,1344672583	2,25	356
0,520505777	0,1819880745	2,3	403
351,6591991	2,5473552168	2,35	391
0,538441732	0,1870810521	2,4	393
0,707433988	0,2323439221	2,45	418
7,859983622	0,9474329190	2,5	439
0,535187577	0,1861614473	2,55	461
0,181455126	0,0724172309	2,6	439
1,768020165	0,4421692496	2,65	450
1,558062929	0,4079112240	2,7	436
3,669631097	0,6692825724	2,75	431